

Отчет по лабораторной работе №1
Согласованные фильтры

Выполнили студенты 450 группы
Понур К.А., Хавьер, Шиков А.П.

Нижний Новгород, 2020

Цель работы: Тут цель

1. Теоритическая часть

Тут теория

2. Практическая часть

Тут практика

2.1. Задание 1. Простые и сложные сигналы и их свойства

В этом задании рассматриваются особенности простых и сложных сигналов, которые проявляются в поведении спектров сигналов. Следует проследить за тем, какие существуют закономерности при изменении спектров в зависимости от изменения временных параметров простых и сложных сигналов. Для каждого рассмотренного сигнала $m(t)$ строятся графики реализации сигнала, амплитудного и фазового спектров, а так же функция корреляции и спектральная плотность энергии.

На что ответить в отчете:

1. Получить оценку энергии импульса разными способами по экспериментальным данным. Сравнить результаты с теоретическими.
2. **Done, надо пояснения** Для всех четырех видов сигнала оценить базу, используя формулу $B = T \cdot \Delta f$, где T - эффективная длительность, Δf - эффективная ширина полосы спектра сигнала. За оценку ширины следует принять половину расстояния между первыми нулями (ширины главного лепестка).
3. Пояснить, как изменяется фазовый спектр сигнала, в том диапазоне частот, где лежит основная энергия сигнала. Показать с помощью рисунка, как происходит сложение гармонических составляющих сигнала. Выделить на графиках амплитудного и энергетического спектров диапазон частот, в котором лежит основная энергия сигнала. Как изменяется фазовый спектр сигнала в этом диапазоне частот? Почему физический амплитудный спектр имеет смысл рассматривать только внутри этой полосы?
4. **Done, надо пояснения** Для ЛЧМ сигнала сравнить протяженность корреляционной функции с длительностью сигнала. Во сколько раз она меньше длительности сигнала?
5. **Done, надо пояснения** Для ЛЧМ сигнала оценить диапазон изменения фазовых сдвигов у гармоник сигнала в пределах полосы амплитудного спектра. Нарисовать амплитудный спектр в приближенном виде (аппроксимируя прямоугольником) и посмотреть, какой в этих пределах фазовый спектр.

6. Во всех примерах рассматривались изменения спектральных характеристик при изменении временных зависимостей сигналов. Учитывая, что для функций, сопряженных по Фурье, справедливы следующие соотношения (см. Приложение)...(см методику)
7. Чем определяется максимальное значение функции корреляции? Рассмотреть корреляционную функцию как сигнал и найти его базу.
8. Сравнить изменения спектрально-корреляционных характеристик при изменении длительности различных сигналов.

2.1.1 Прямоугольный видеоимпульс

Для прямоугольного видеоимпульса

- Получить аналитическое выражение для амплитудного, фазового и энергетического спектра, построить теоретический график.
- Изучить амплитудный, фазовый и энергетический спектры. Для этого задать длительность импульса 10мс и 20мс, амплитуду равной 1, а затем проанализировать зависимости.

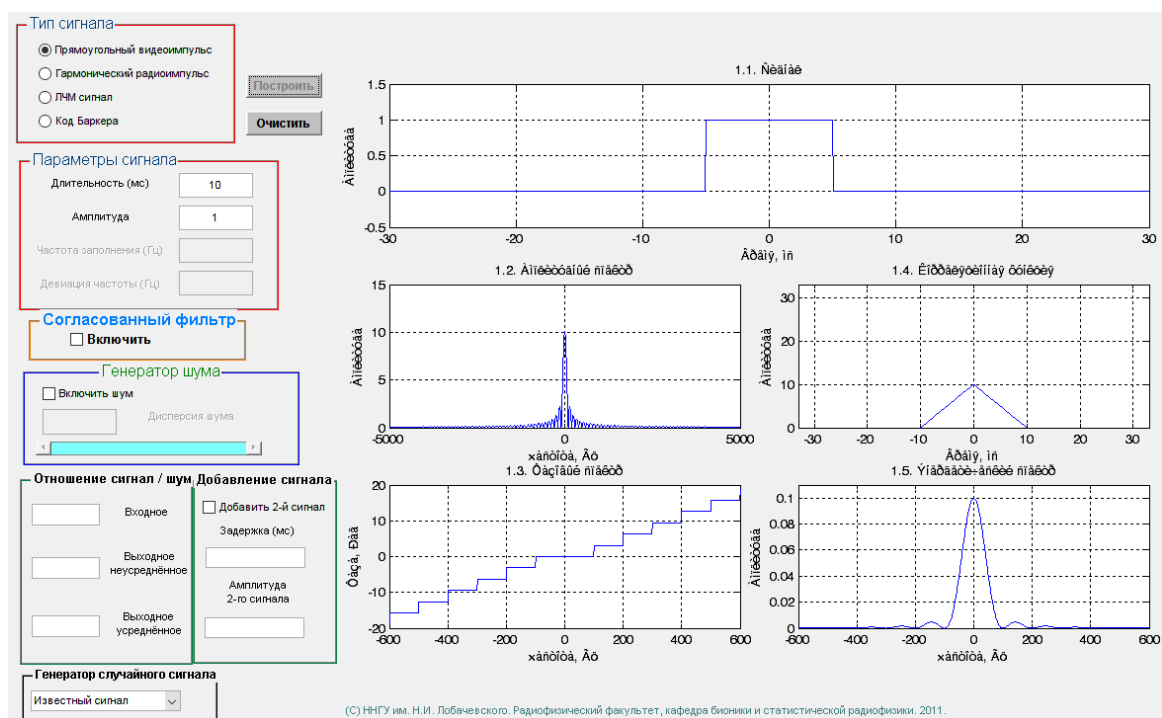


Рис. 1: 10ms

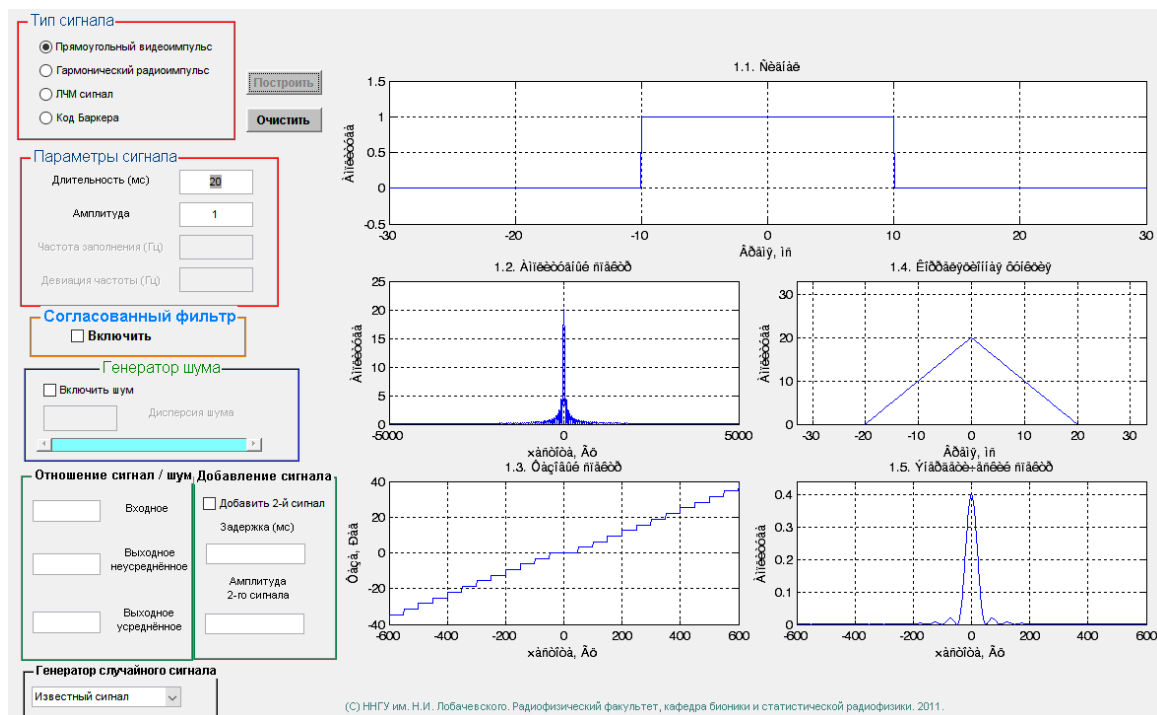


Рис. 2: 20ms

База

Найдем базу для прямоугольного импульса по следующей формуле:

$$B = T \cdot \Delta f, \quad (1)$$

где T - эффективная длительность, Δf - эффективная ширина полосы спектра сигнала (в качестве оценки берется половина ширины главного лепестка амплитудного спектра).

$$B_{10ms} = 10^{-2} \cdot 100 = 1, \quad B_{20ms} = 20 \cdot 10^{-3} \cdot 50 = 1 \quad (2)$$

База прямоугольного импульса равна единице, что означает что это простой сигнал. Таким образом справедливо соотношение $\Delta f = \frac{1}{T}$. Действительно, в соответствии с этой зависимостью, наблюдается сужение амплитудного спектра при увеличении длительности сигнала.

Спектры

Фазовый спектр ??, энергетический спектр так же сузился.

Энергия

Получим оценку энергии импульса. Для этого необходимо взять частотный диапазон, в котором фаза ϕ спектральных компонент равна нулю (откуда это и почему ??). В случае прямоугольного импульса (см. рис. 1), $\phi = 0, f \in [-100, 100]$ Гц. Полная энергия сигнала равна $2\pi T$ (см. формулу 49 методички $\int \epsilon(\omega) d\omega$). Найдем значение энергии в диапазоне

$f \in [-100, 100]$ Гц (с помощью численного вычисления интеграла, (см. формулу 49 методики)). Получим, что 90.2% энергии находится в указанном диапазоне.

2.1.2 Прямоугольный видеоимпульс с гармоническим заполнением

Изучить амплитудный, фазовый и энергетический спектры. Задать длительность импульса 10мс и 20мс, амплитуду равной 1 и частоту заполнения 400Гц, а затем проанализировать зависимости.

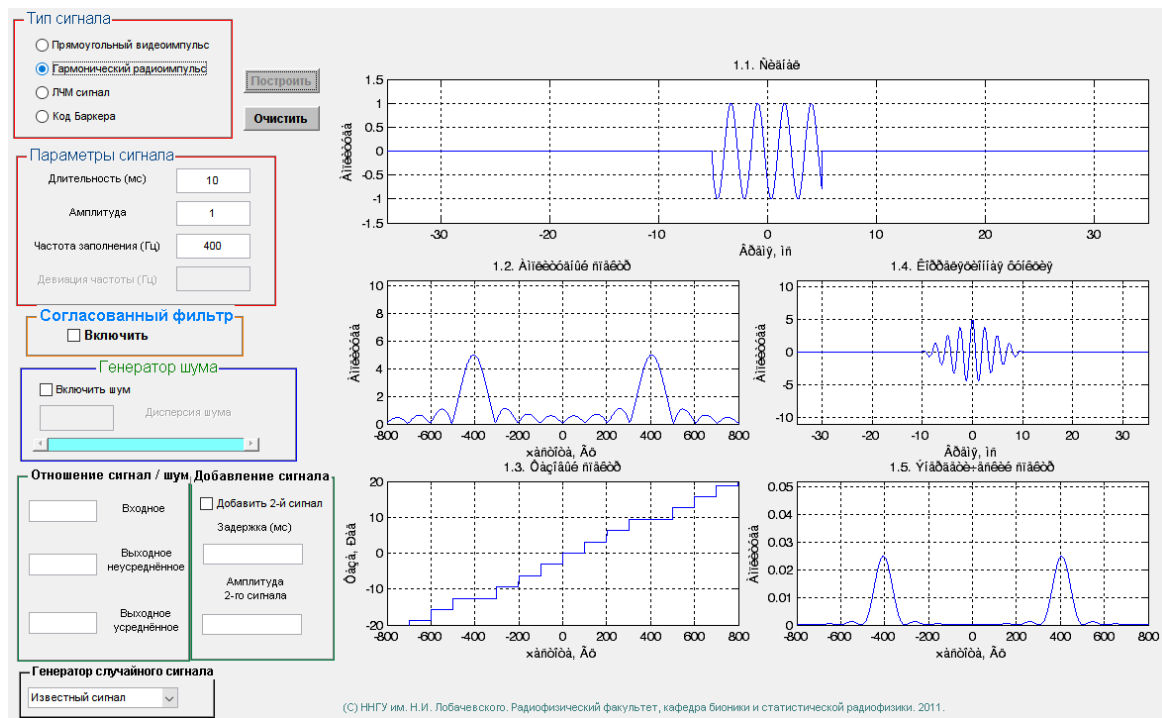


Рис. 3: 10ms

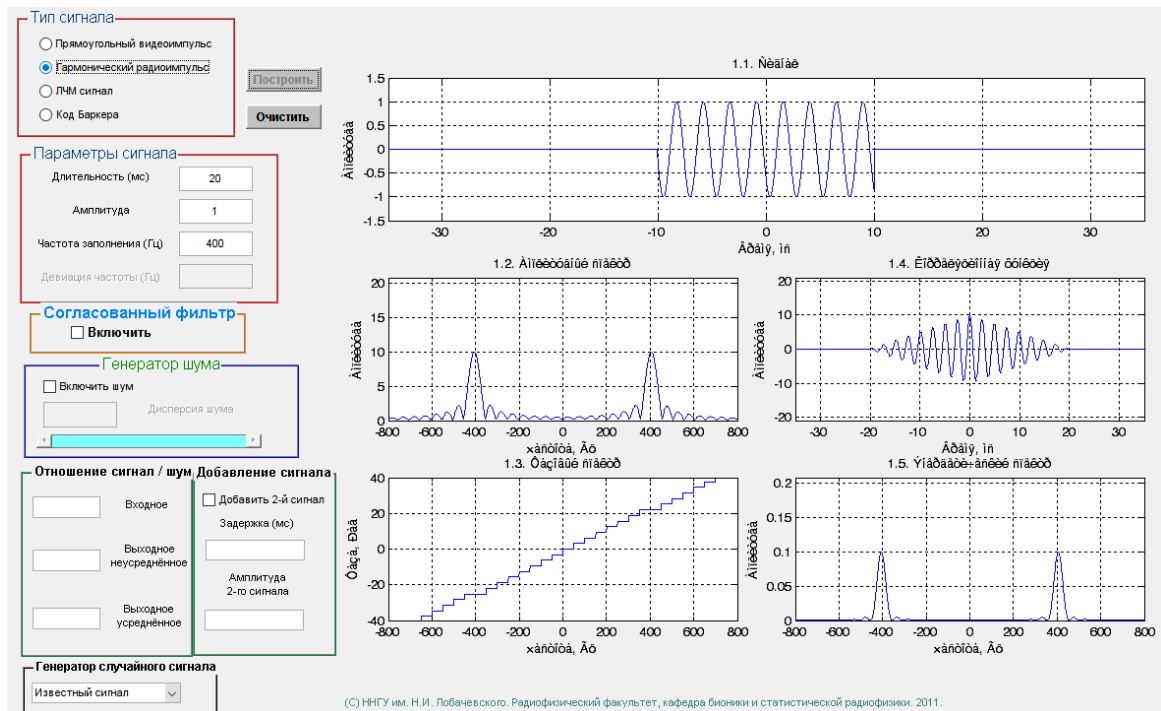


Рис. 4: 20ms

При увеличении длительности сигнала амплитудный спектр ??, фазовый спектр ??, энергетический спектр ??.

$$B_{10ms} = 10^{-2} \cdot 100 = 1, \quad B_{20ms} = 20 \cdot 10^{-3} \cdot 50 = 1 \quad (3)$$

Значение базы - единица, означает что радиосигнал это простой сигнал.

2.1.3 Линейно-частотный модулированный импульс

Получить временные реализации ЛЧМ сигнала с параметрами:

- длительность 100мс, средняя частота заполнения 1000Гц, девиация 500Гц;
- длительность 100мс, средняя частота заполнения 1000Гц, девиация 1000Гц
- амплитуда 1.

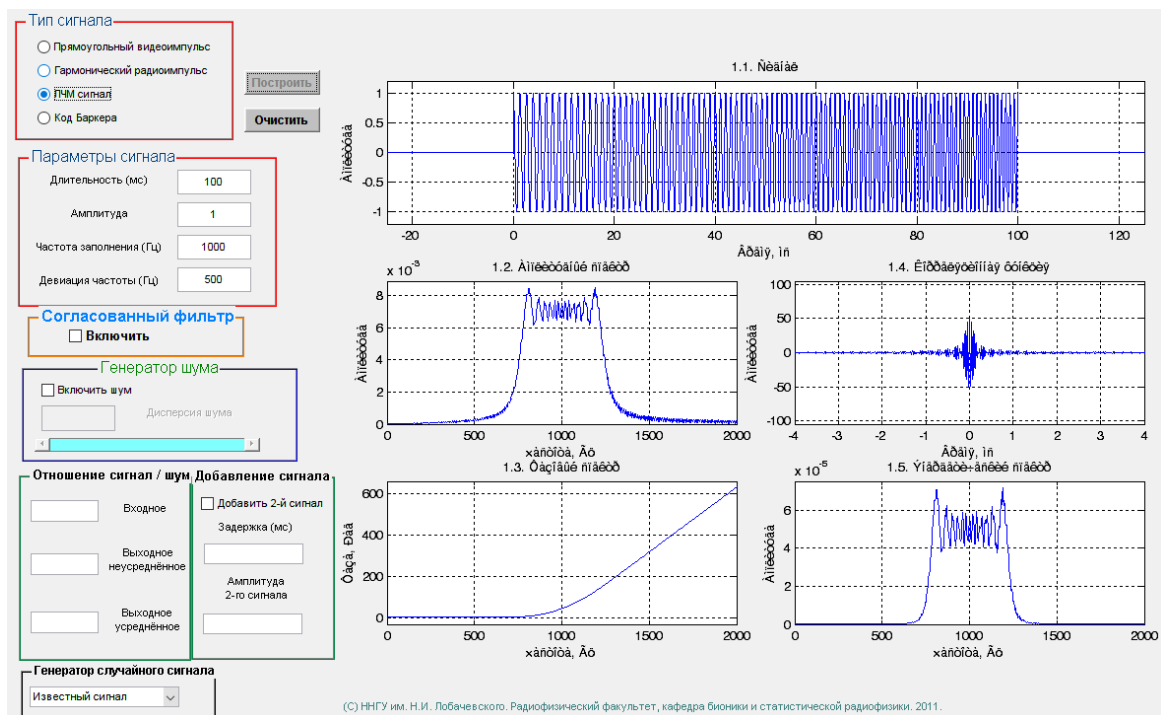


Рис. 5: 500 Гц

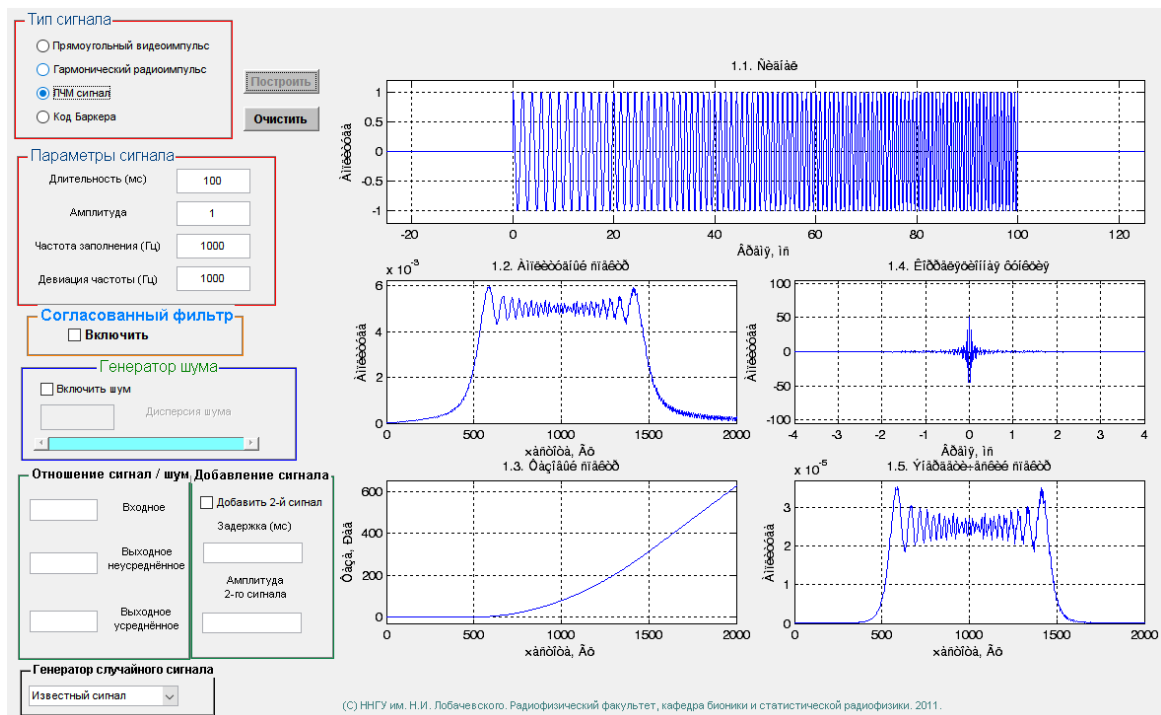


Рис. 6: 1000 Гц

$$B_{500Hz} = 100 \cdot 10^{-3} \cdot (1260 - 760) = 50, \quad B_{1000Hz} = 100 \cdot 10^{-3} \cdot (1500 - 500) = 100 \quad (4)$$

Для ЛЧМ сигнала сравнить протяженность корреляционной функции с длительностью сигнала. Во сколько раз она меньше длительности сигнала?

При длительности ЛЧМ сигнала 100 мс, протяженность функции корреляции составила всего 0.4 мс, что в 250 раз меньше.

Для ЛЧМ сигнала оценить диапазон изменения фазовых сдвигов у гармоник сигнала в пределах полосы амплитудного спектра. Нарисовать амплитудный спектр в приближенном виде (аппроксимируя прямоугольником) и посмотреть, какой в этих пределах фазовый спектр.

Диапазон изменения фазовых сдвигов в случае девиации 500 Гц составил $\phi \in [0 - 160]$ радиан (см. рис. 7), в случае девиации 1000 Гц составил $\phi \in [0 - 260]$ радиан (см. рис. 8).

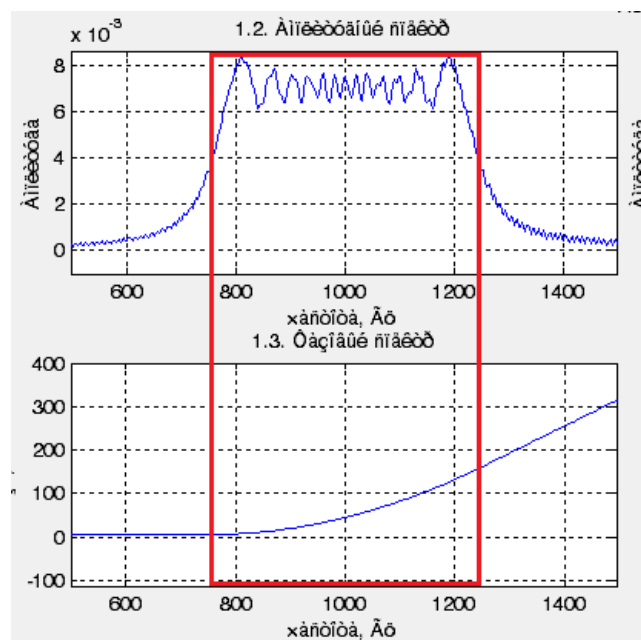


Рис. 7: Диапазон изменения фазовых сдвигов у гармоник сигнала, девиация 500 Гц

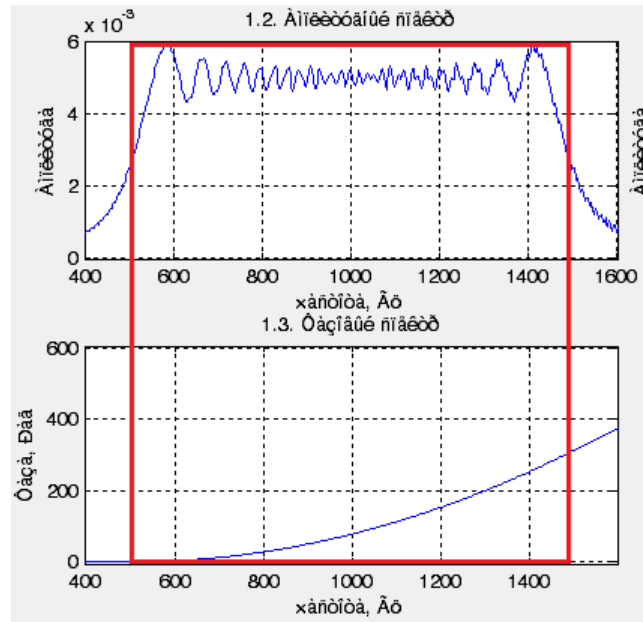


Рис. 8: Диапазон изменения фазовых сдвигов у гармоник сигнала, девиация 1000 Гц

2.1.4 Код Баркера

Получить реализации для кода Баркера (N=13) при длительности 13мс и 26мс

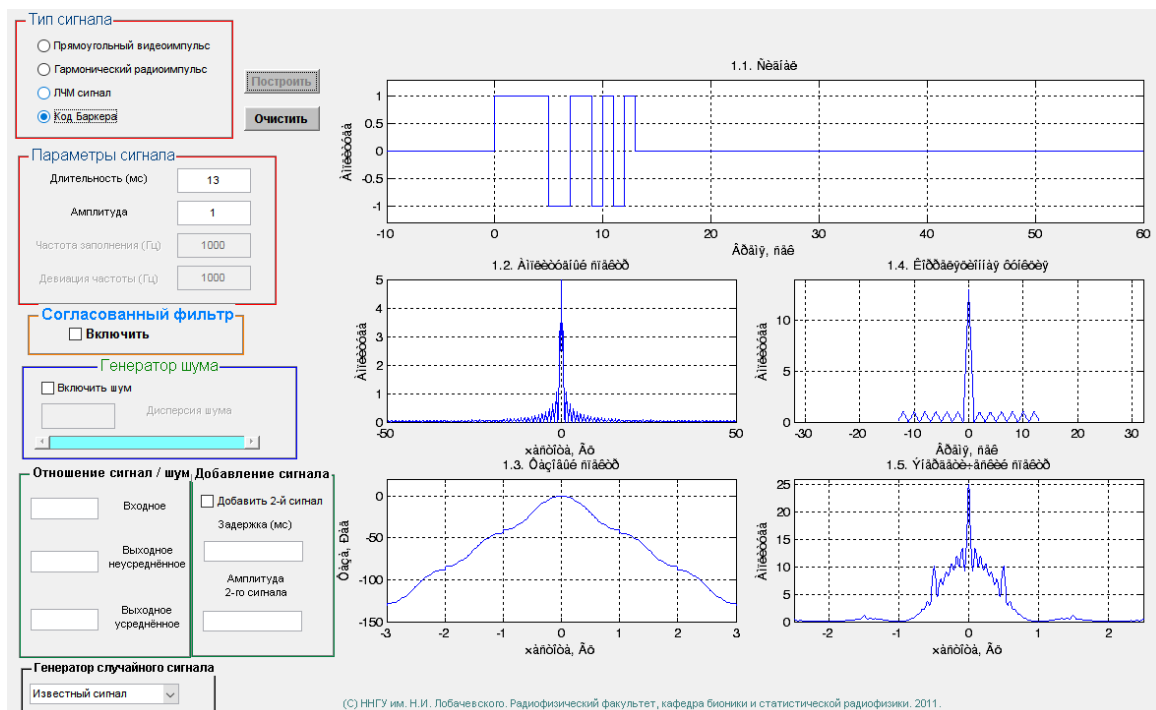


Рис. 9: 13 мс

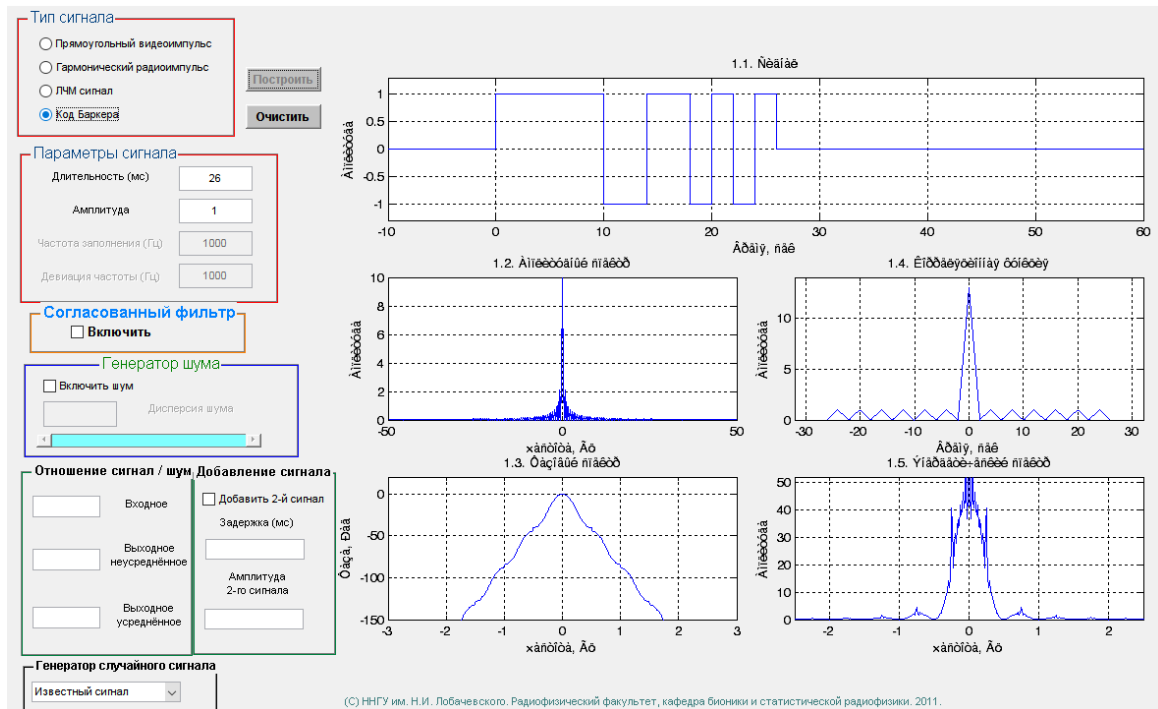


Рис. 10: 26 мс

$$B_{13ms} = 13 \cdot 10^{-3} \cdot 1 = 13 \cdot 10^{-3}, \quad B_{26ms} = 26 \cdot 10^{-3} \cdot 0.5 = 13 \cdot 10^{-3} \quad (5)$$

2.2. Задание 2. Параметры согласованного фильтра и выходного сигнала

В этом задании изучаются характеристики согласованных фильтров, соответствующих каждому из сигналов, рассмотренных в задании №1. Кроме того, исследуются вид и свойства выходных сигналов. Учитывая, что при расширении фазового спектра длительность сигнала увеличивается, а при уменьшении до нуля – укорачивается, в данном задании необходимо внимательно проследить за укорочением сигнала. Самый короткий и самый большой по амплитуде он должен получиться при нулевом фазовом спектре

Рекомендации по анализу результатов эксперимента

- **Done** Как коэффициент передачи по амплитуде $|K(\omega)|$ фильтра и фазовые сдвиги $\varphi(\omega)$, вносимые фильтром в соответствующую гармонику, связаны с амплитудным и фазовым спектром сигнала?
- Как связан выходной сигнал и его амплитудный и фазовый спектр¹ с характеристиками входного сигнала? Сравнить длительности входного и выходного сигналов.

¹а где эту фазу брать ало?

- **Done** Какой вид имеет импульсная переходная характеристика согласованного фильтра?
- Какой фазовый спектр ² и база выходного сигнала?

АЧХ $|K(i\omega)|$ и ФЧХ $\varphi(\omega)$ согласованного фильтра связаны с амплитудным и фазовым спектром сигнала следующим образом:

$$|K(i\omega)| = |C_0| \cdot |C_m(i\omega)|, \quad \varphi(\omega) = -\varphi_m - \omega t + \arg(C_0), \quad (6)$$

где C_m, φ_m - амплитудный и фазовый спектры входного сигнала $m(t)$.

Во всех случаях импульсная переходная характеристика фильтра имеет вид зеркально отраженного сигнала, сдвинутого таким образом, чтобы начало характеристики совпадало с $t = 0$.

$$h(t) = C_0 m(-(t - t_0)) = C_0 m(-t + t_0). \quad (7)$$

Сигнал на выходе согласованного фильтра пропорционален функции корреляции первого рода:

$$M(t) = C_0 \Psi(t_0 - t) = \int_{-\infty}^{\infty} C_0 m(t') m(t_0 - t + t') dt' \quad (8)$$

2.2.1 Прямоугольный видеоимпульс

Рассмотрим прохождение прямоугольного видеоимпульса через согласованный фильтр. Рассмотрим два случая: длительность T 10 и 30 мс. Результаты работы программы приведены соответственно на рис. 11 и 12.

²а где эту фазу брать ало? х2

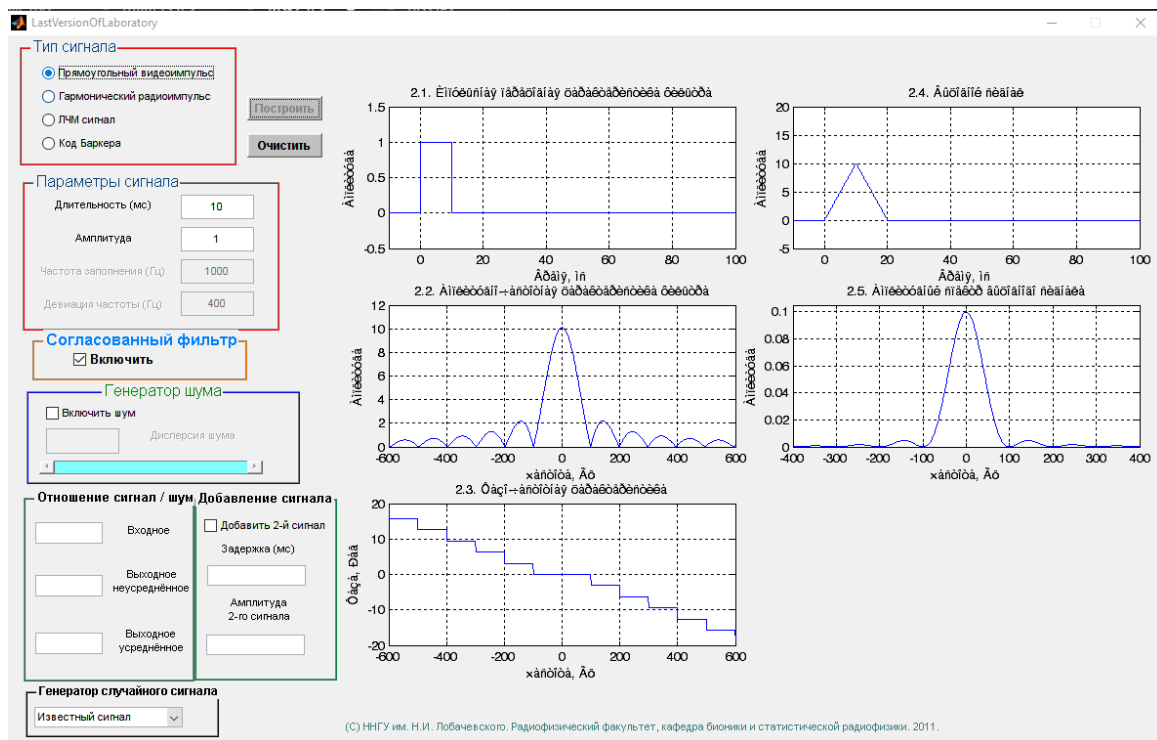


Рис. 11: Прямоугольный видеоимпульс, пропущенный через согласованный фильтр, $T = 10$ мс

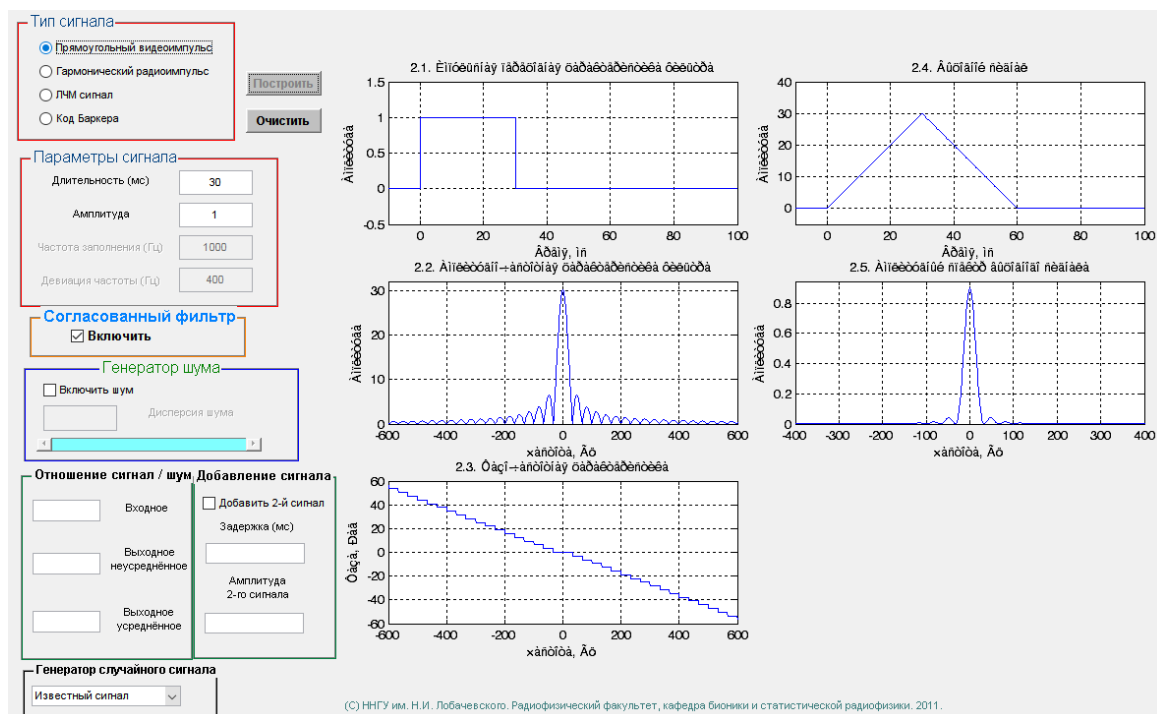


Рис. 12: прямоугольный видеоимпульс, пропущенный через согласованный фильтр, $T = 30$ мс

1. При увеличении длительности входного сигнала, длительность выходного сигнала также увеличивается, а амплитудный спектр выходного сигнала сужается.
2. Определим базу выходного сигнала.

$$B_{10ms} = T \cdot \Delta f \simeq 20 \cdot 10^{-3} \cdot 90 = 1.8 \quad (9)$$

$$B_{30ms} = T \cdot \Delta f \simeq 60 \cdot 10^{-3} \cdot 30 = 1.8 \quad (10)$$

База выходного сигнала больше базы входного.

2.2.2 Прямоугольный видеоимпульс с гармоническим заполнением

Пропустим через согласованный фильтр радиоимпульс с частотой заполнения 500 Гц, и длительностью 10 и 30 мс. Результаты приведены на рис. 13 и 14 соответственно.

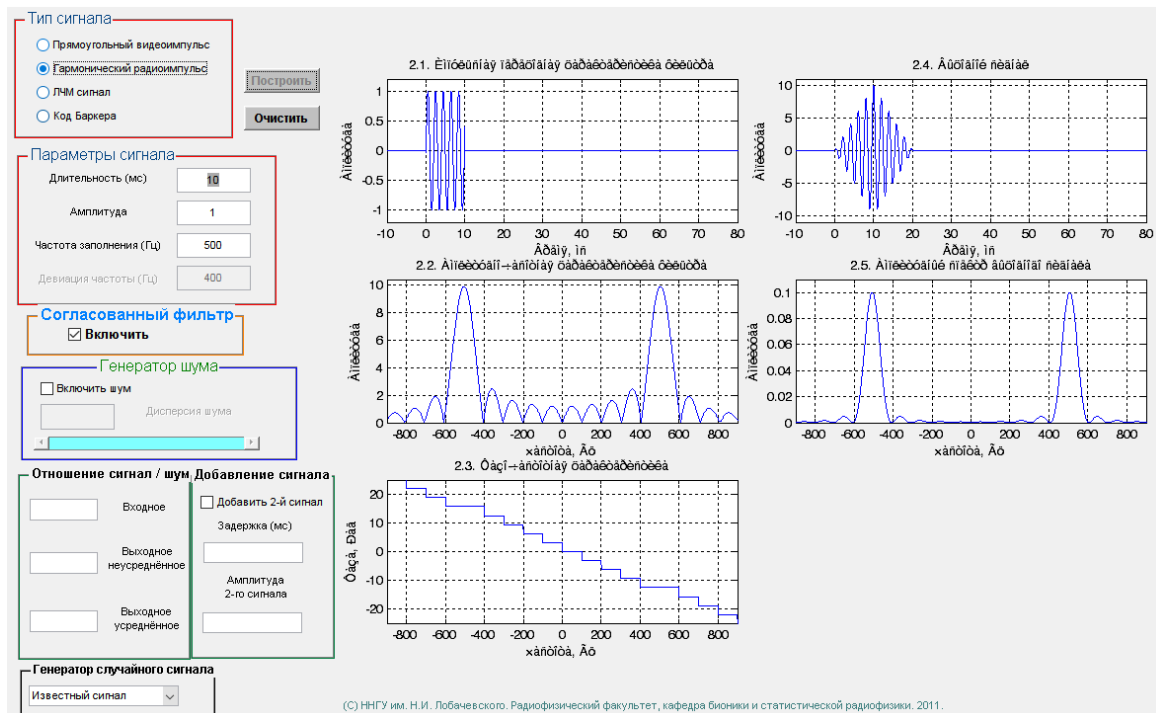


Рис. 13: 10 мс

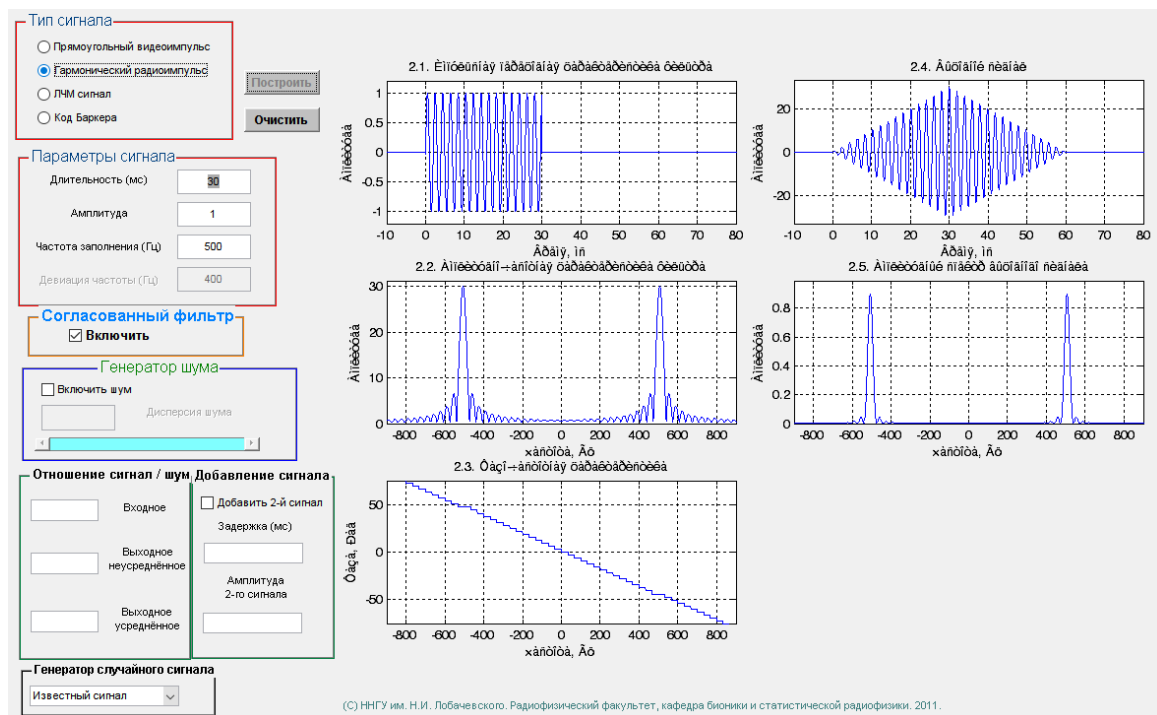


Рис. 14: 30 мс

Результаты анализа радиоимпульса аналогичны результатам для видеоимпульса:

1. При увеличении длительности входного сигнала, длительность выходного сигнала также увеличивается, а амплитудный спектр выходного сигнала сужается.
2. Определим базу выходного сигнала.

$$B_{10ms} = T \cdot \Delta f \simeq 20 \cdot 10^{-3} \cdot 80 = 1.6 \quad (11)$$

$$B_{30ms} = T \cdot \Delta f \simeq 60 \cdot 10^{-3} \cdot 25 = 1.5 \quad (12)$$

База выходного сигнала больше базы входного.

2.2.3 ЛЧМ сигнал

Далее рассмотрим ЛЧМ сигнал. Зададим длительность сигнала 100мс, частоту заполнения 1000 Гц, а девиацию возьмем равной 500 и 1000 Гц. Результаты приведены на рис. 15 и 16 соответственно.

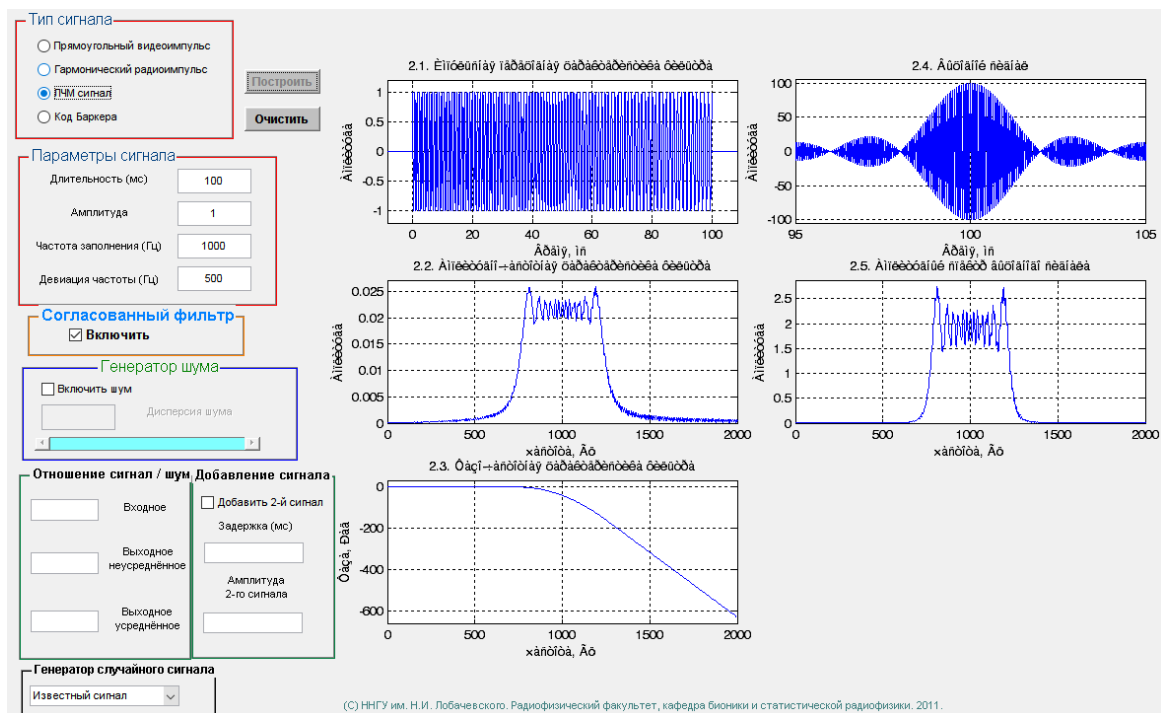


Рис. 15: Девияция 500 Гц

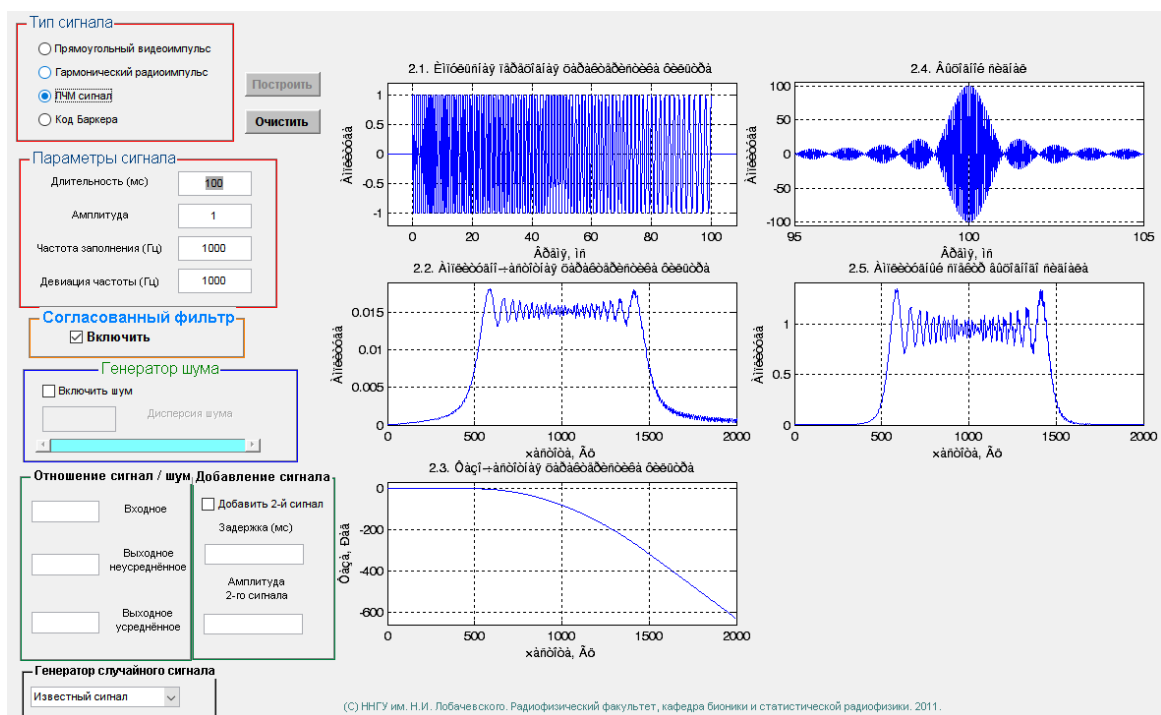


Рис. 16: Девияция 1000 Гц

Импульсная характеристика перешла в ЛЧМ-колебание с зеркальной по отношению к сигналу модуляцией.

1. Сравним длительности входного и выходного сигналов. Эффективная длительность выходного сигнала составляет 4 мс, при этом она не зависит от длительности входного сигнала. Это происходит из-за сжимающих свойств фильтра, и того факта что ЛЧМ сигнал является сложным сигналом. В данном случае он обладает базой $B \simeq 50$, что мы и наблюдаем при уменьшении длительность выходного сигнала в $\sim B$ раз.

При увеличении величины девиации, эффективная длительность выходного сигнала уменьшилась в два раза, составляя 2 мс. Амплитудный спектр при этом не изменился.

2. Определим базу выходного сигнала.

$$B_{500\text{Hz}} = T \cdot \Delta f \simeq 4 \cdot 10^{-3} \cdot 500 = 2 \quad (13)$$

$$B_{1000\text{Hz}} = T \cdot \Delta f \simeq 2 \cdot 10^{-3} \cdot 1000 = 2 \quad (14)$$

База выходного сигнала меньше базы входного, за счет сильного уменьшения длительности и сохранения спектра.

2.2.4 Код Баркера

Далее рассмотрим код Баркера. Зададим длительность сигнала равной 13 с и 26 с. Результаты приведены на рис. 17 и 18 соответственно.

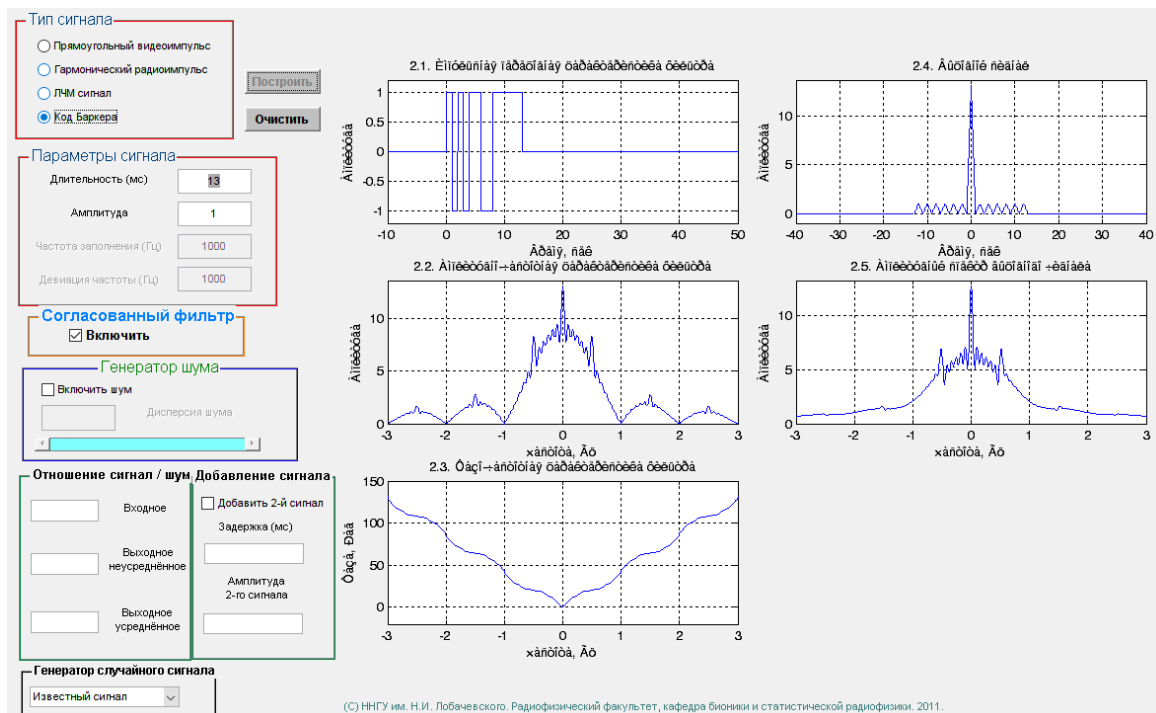


Рис. 17: 13 с

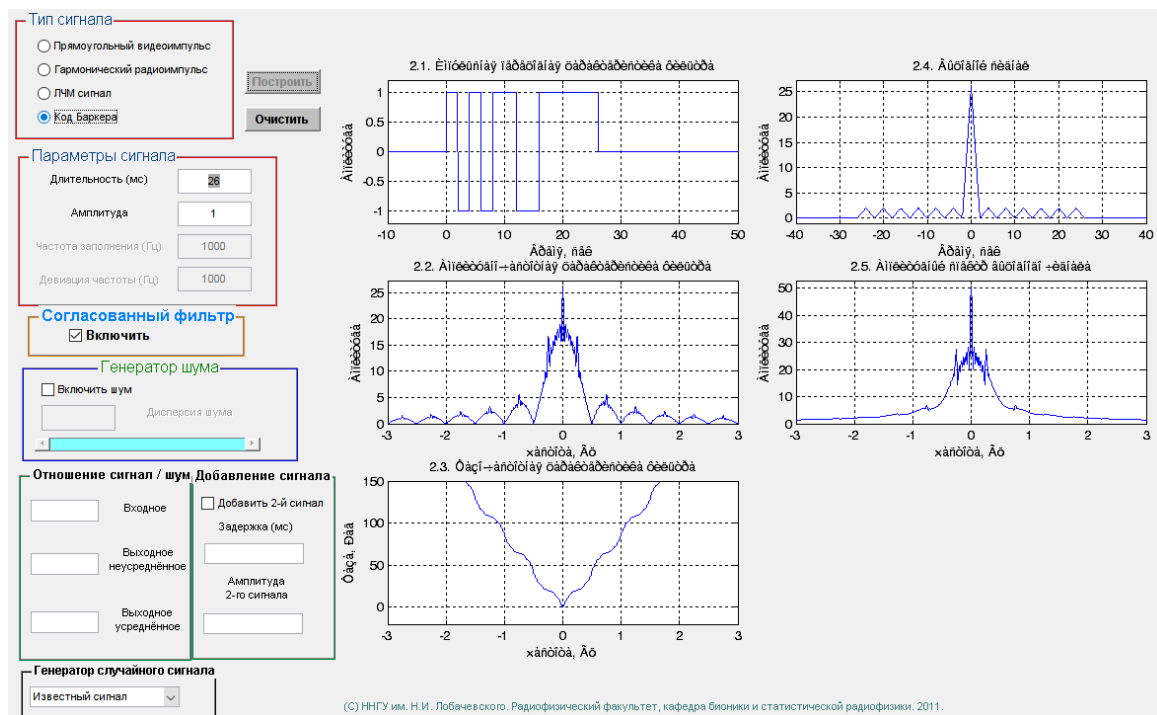


Рис. 18: 26 с

1. При длительности входного сигнала в 13 с, эффективная длительность выходного сигнала составляет 26 с. При этом при увеличении длительности входного сигнала до 26 с, длительность выходного также увеличилась в два раза.

2. Определим базу выходного сигнала.

$$B_{13s} = T \cdot \Delta f \simeq 2 \cdot 26 = 52 \quad (15)$$

$$B_{26s} = T \cdot \Delta f \simeq 2 \cdot 52 = 104 \quad (16)$$

2.3. Задание 3. Согласованная фильтрация линейно-частотно модулированного сигнала

В этом задании на примере ЛЧМ сигнала подробно исследуются особенности фильтрации сложных сигналов.

Выбрать среднюю частоту заполнения 1000Гц, длительность ЛЧМ сигнала менять в пределах от 10мс до 100мс девиацию частоты изменять от 400Гц до 1000Гц

Пропустить ЛЧМ сигнал через согласованный фильтр. Качественно проанализировать, чем определяются основные параметры выходного сигнала: величина его максимума и степень укорочения сигнала, временное положение максимума. Получить и построить графики следующих зависимостей, оставляя среднюю частоту неизменной:

Задание 3 *Текст Ильи*

1) Максимум выходного сигнала достигается в момент окончания входного сигнала, соответственно, чем длиннее входной сигнал тем позже наступит пик выходного. Расстояние между нулем амплитуды и ее максимумом не зависит от длительности входного сигнала.

При изменении девиации частоты входного сигнала не меняется положение максимума амплитуды во времени, но меняется длительность между пиковым и нулевым значением амплитуды.

2) При увеличении длительности сигнала прямо пропорционально возрастает амплитуда сигнала на выходе.

Изменение девиации частоты на амплитуду не влияет.

Сигнал на выходе согласованного фильтра имеет форму корреляционной функции полезного сигнала.

Пиковое значение выходного сигнала согласованного фильтра достигается не раньше, чем окончится импульсный сигнал, поступающий на вход фильтра. Иначе невозможно накопить всю энергию входного сигнала для формирования пика на выходе фильтра в момент времени t_0 . Увеличение t_0 сверх величины $\tau + T$ не влияет на величину максимума выходного сигнала, а лишь сдвигает его в сторону большего запаздывания. Поэтому имеет смысл выбирать $t_0 = \tau + T$. Тогда максимальное значение выходного сигнала достигается точно в момент окончания входного импульса.

Сигнал $M(t)$ достигает максимального значения в момент t_0 , поскольку функция корреляции всегда имеет максимальное значение в нуле $\max(\Psi_M(\tau)) = \Psi(0)$. Тогда максимальное значение с точностью до постоянного множителя C_0 равно энергии сигнала: Формула (35)

Сжатие сигнала (его укорочение) прямо пропорционально базе сигнала. В случае ЛЧМ сигнала база сигнала регулируется значением девиации частоты. При увеличении девиации уменьшается τ - характерное время выходного сигнала (см формулу 53). При уменьшении τ увеличивается характерная ширина спектра выходного сигнала (как следствие из Фурье-преобразования). Получаем, что при увеличении девиации сигнала увеличивается его база.

2.4. Задание 4. Зависимость отношения сигнал/шум на выходе согласованного фильтра от параметров входного сигнала

В задании исследуется свойство системы с согласованным фильтром при различных параметрах ЛЧМ сигнала: девиации частоты $\Delta f_{\text{дев}}$ и длительности сигнала τ .

2.4.1 Изменяющаяся длительность ЛЧМ сигнала

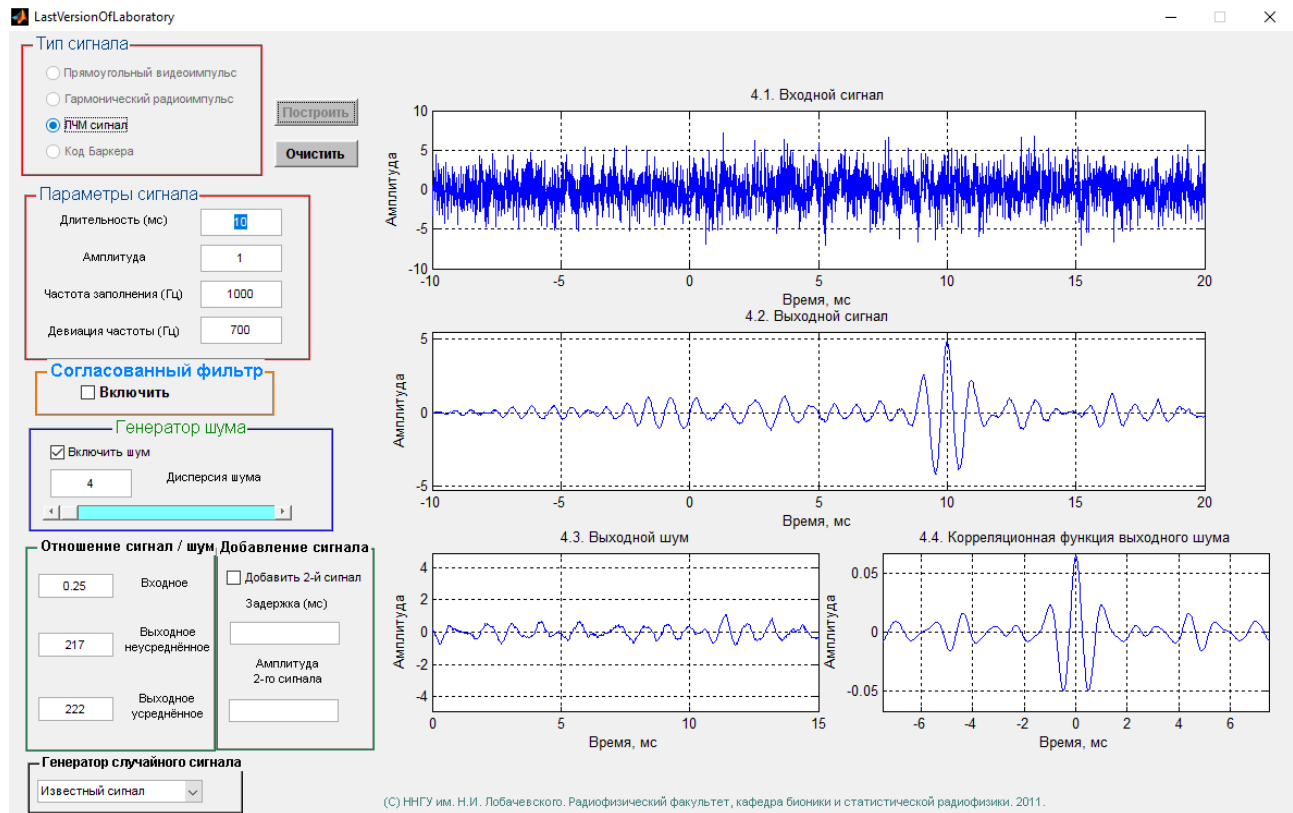


Рис. 19: Панель виртуального прибора для задания 4.

Установили девиацию частоты $\Delta f_{\text{дев}} = 700$ Гц и изменяли длительность в пределах 10 мс – 100 мс.

Был проведен эксперимент, в котором для нескольких реализаций виртуальным прибором³ вычислялось усредненное и неусредненное отношение сигнал/шум. Получившееся облако точек представлено на рис.20.

Между реализациями, полученными при одинаковом значении длительности τ усреднялись, вычислялось среднее значение и формировалась усредненная функция ОСШ⁴. Зависимость усредненного ОСШ(τ) от длительности сигнала представлена на рис. 21.

2.5. Задание 6. Различение сигналов.

3. Вывод

³Виртуальному прибору – виртуальный студент

⁴Эт че, у меня двойное усреднение получается? Или что такое в проге усредненное и неусредненное?

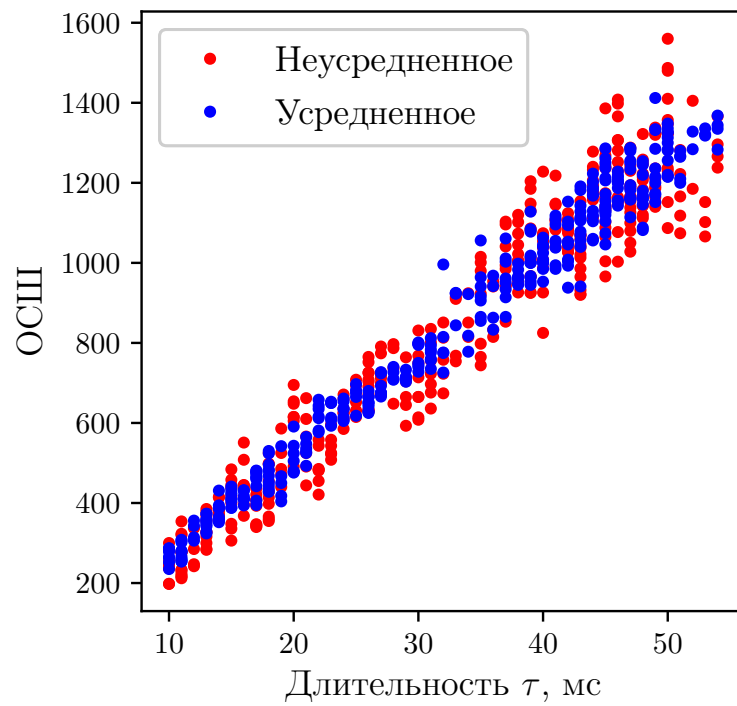


Рис. 20: Облако значений зависимости ОСШ от длительности τ ЛЧМ сигнала.

4. Дополнение

Здесь приведены некоторые вопросы, которые разбирались на сдаче отчета

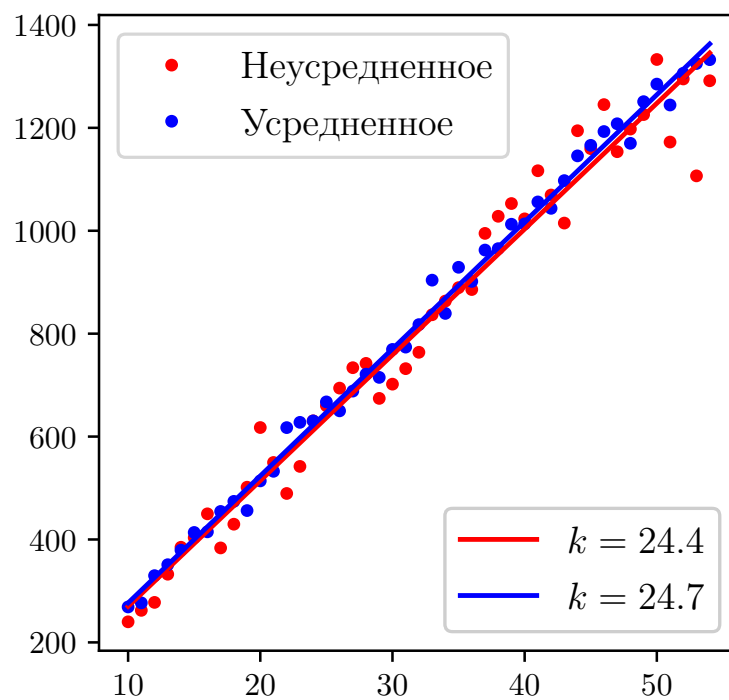


Рис. 21: Усредненная зависимость ОСШ от длительности τ ЛЧМ сигнала. Сплошными линиями показана линейная аппроксимация получившейся зависимости. Коэффициент k обозначает коэффициент наклона прямой